

Abb. 4. — Stenogastrer Hinterleib vom *Teleutomyrmex*-♀. Aufsichtsbild. — a) Kropf; b) Valvula cardiaca; c) Mitteldarm; d) Valvula pylorica; e) Rektum; f) Rektalpapille; g) Anus; h) Malpighigefässe; i) Ovar; j) Paariger Eileiter; k) Receptaculum seminis; l) Unpaarer Eileiter; m) Bursa copulatrix.

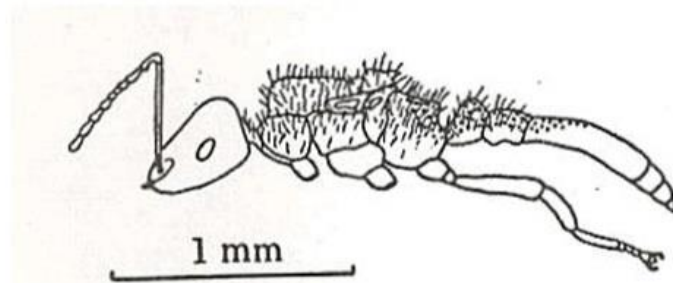


Abb. 10. — *Teleutomymex*-♀.
Die Lage der Drüsenhaare ist mit
Strichen, die Lage der Chitinporen
mit Punkten angedeutet.

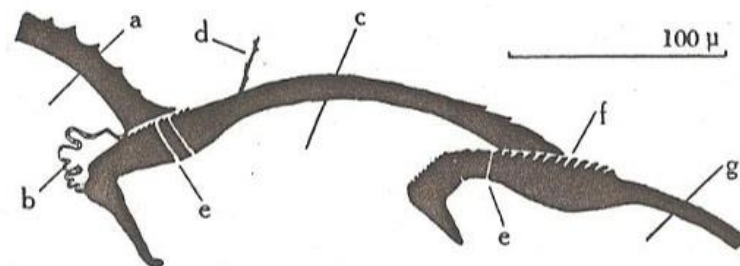


Abb. 15. — Stridulationsapparat vom *Teleutomymex*-♀. — a) Petiolus; b) Intersegmentalhaut; c) Postpetiolus; d) Pinselhaar; e) Chitinporen; f) Chitinleisten; g) Abdomen.

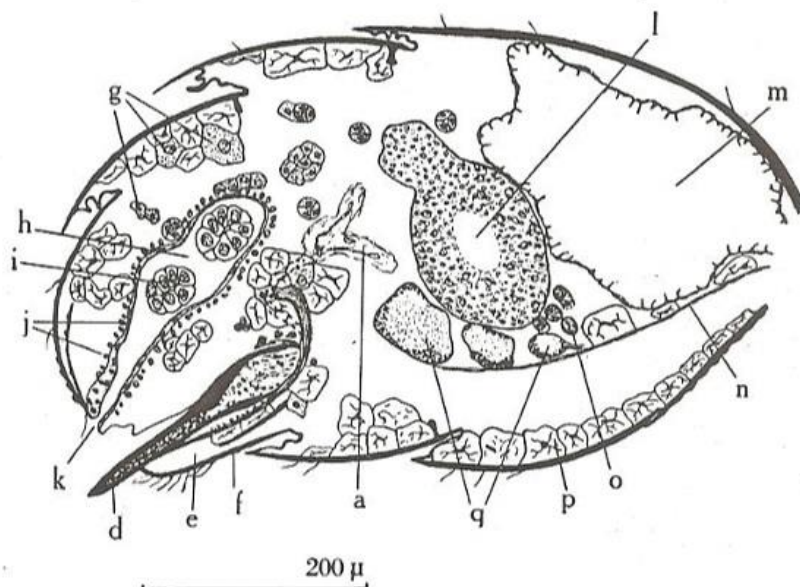


Abb. 16 a. — Stachelapparat vom *Teleutomymex*-♀. — a) Giftblase; d) Stachel;
e) Vagina; g) Oenocyten; h) Rektum; i) Rektalpapille; j) Muskulatur; k) Anus;
l) Mitteldarm; m) Kropf; n) Diaphragma; o) Mälpighigefäße; p) Fettzellen;
q) Ganglien.

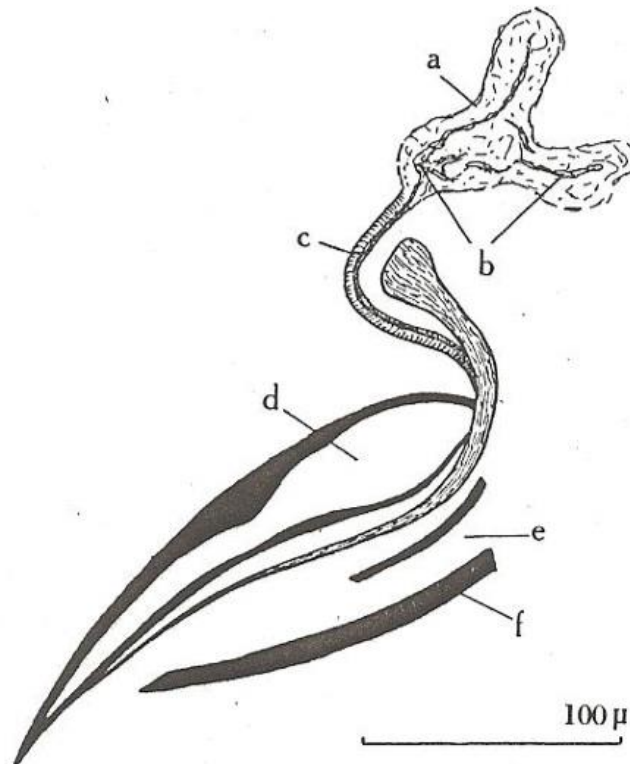


Abb. 16 b. — Stachelapparat vom *Teleutomymex*-♀, vergrößert. —
a) Giftblase; b) Lumen der Gift-
blase; c) Ausführgang der Gift-
blase; d) Stachel; e) Vagina;
f) 4. Sternit.

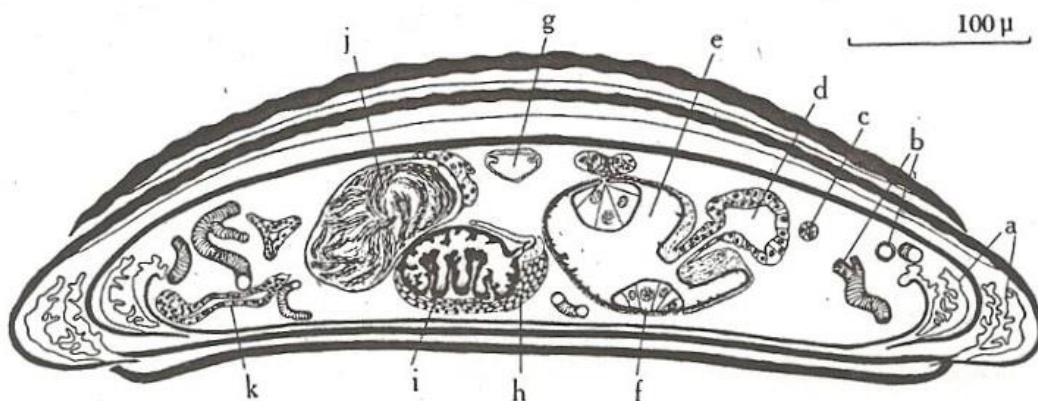


Abb. 20. — Querschnitt durch stenogastren Hinterleib vom *Teleutomymex*-♀. —
a) Intersegmentalhäute; b) Tracheen; c) Malpighigefäss; d) Intestinum; e) Rektum;
f) Rektalpapille; g) Herz; h) Muskulatur; i) Unpaarer Eileiter; j) Receptaculum
seminis; k) Giftdrüse.

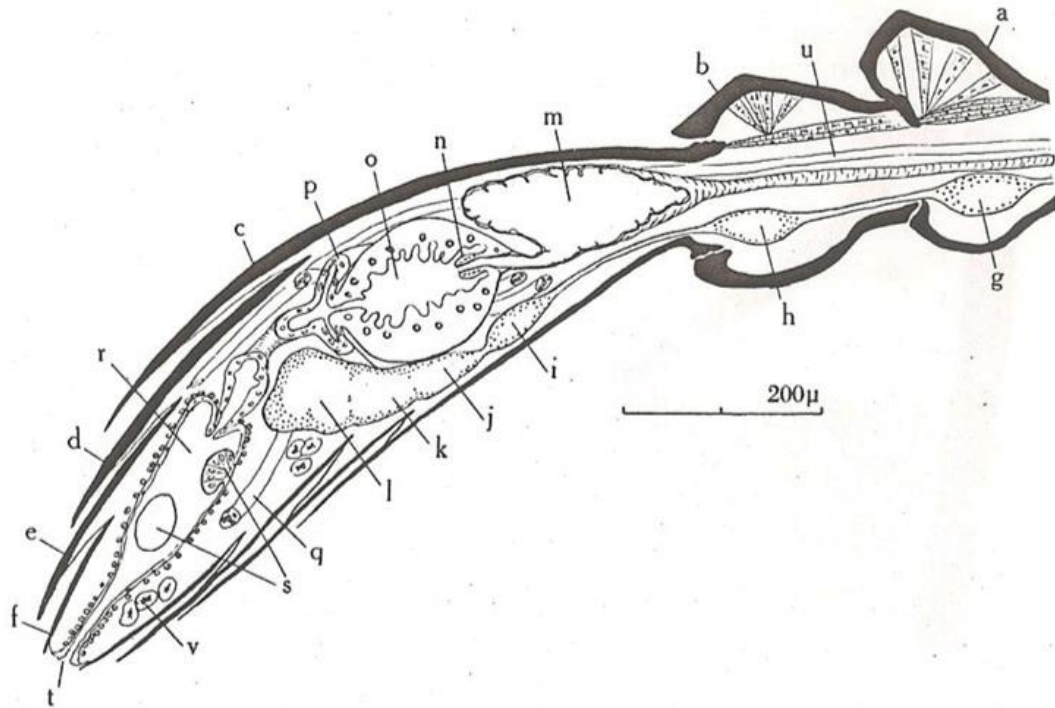


Abb. 21. — Halbschematischer Sagittalschnitt durch Hinterleib vom *Teleutomyrmex*-♀.
— a) Petiolus ; b) Postpetiolus ; c) Tergit 1 ; d) Tergit 2 ; e) Tergit 3 ; f) Tergit 4 ;
g) Ganglion 6 ; h) Gangl. 7 ; i) Gangl. 8 ; j) Gangl. 9 ; k) Gangl. 10 ; l) Gangl. 11—13 ;
m) Kropf ; n) Valvula cardiaca ; o) Mitteldarm ; p) Abgang der Malpighigefäße ;
q) Malpighigefäß ; r) Rektum ; s) Rektalpapillen ; t) Anus ; u) Rückengefäß ;
v) Fettzellen.

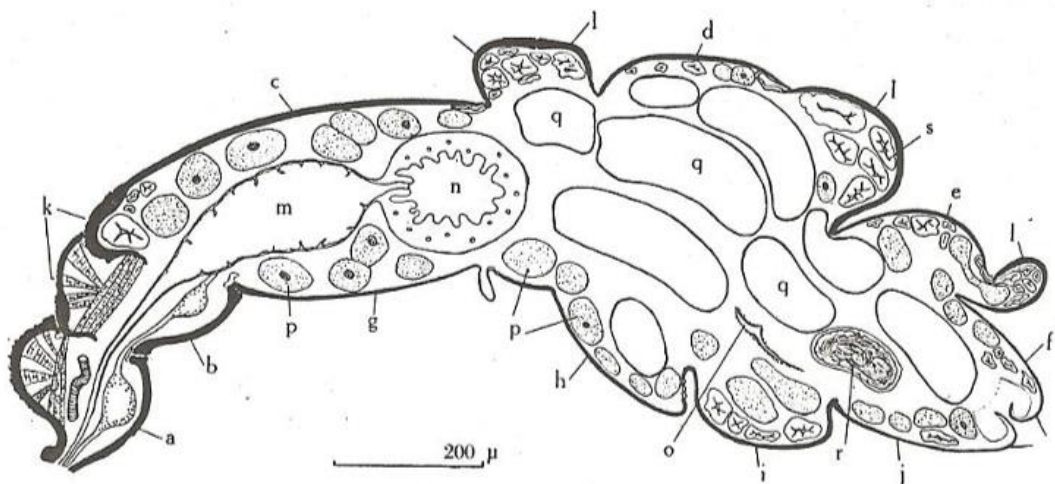


Abb. 25. — Sagittalschnitt durch den physogastrischen Hinterleib eines *Teleutomyrmex*-♀.
— a) Petiolus ; b) Postpetiolus ; c) Gastertergit 1 ; d) Tergit 2 ; e) Tergit 3 ; f) Tergit 4 ;
g) Sternit 1 ; h) Sternit 2 ; i) Sternit 3 ; j) Sternit 4 ; k) Poren im Chitin ; l) Intersegmentalhaut ; m) Vorderdarm ; n) Mitteldarm ; o) Enddarm (zusammengepresst) ;
p) Unreife Eizellen ; q) Reife Eizellen ; r) Receptaculum seminis ; s) Fettzellen.

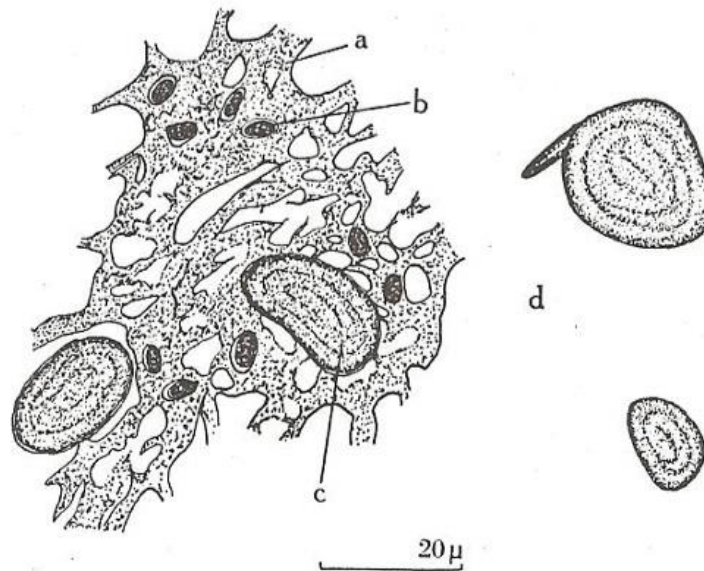


Abb. 26. — Schnitt durch Flugmuskulatur eines *Teleutomyrmex*-♀ mit Nematoden. — a) Stark degenerierte, indirekte Flugmuskulatur; b) Zellen mit grossen Kernen, evt. (Haemocyten); c) Cysten; d) Nematodencysten herausgezeichnet, oben : infolge Präparation Körperenden aus Cyste herausragend, unten : Cyste geschlossen.

Figs. 4, 10, 15, 16a, 16b, 20, 21, 25, 26: from Gösswald, K., 1953; Schweizerische Entomologische Gesellschaft.

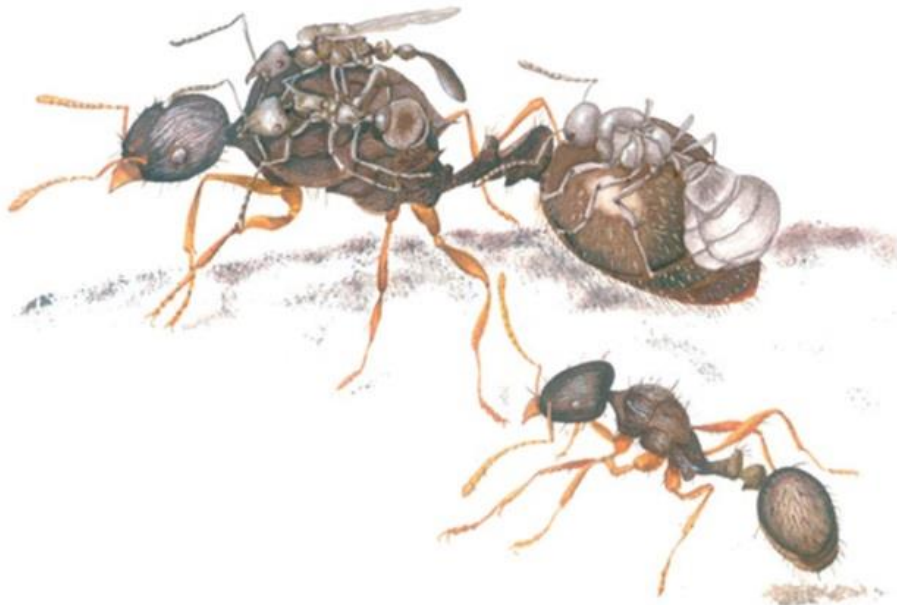
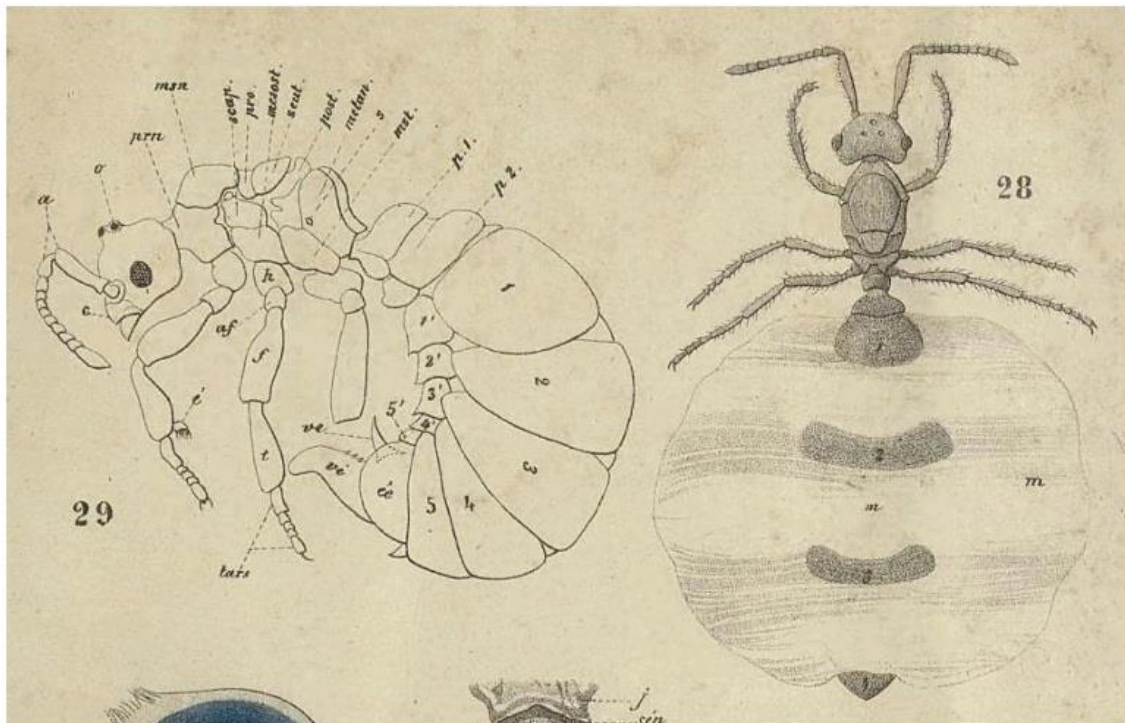


Fig. 13.13, *Teleutomyrmex schneideri* et *Tetramorium caespitum*.

Fig. 13.13: from Passera, L. and Aron, S., 2005; CNRS, Ottawa.



Part from Plate 2. Fig. 28 = Femelle féconde de l'*Anergates atratulus*, vue de dessus. Fig. 29 = *Anergates atratulus* male, vu de côté, dans son attitude habituelle.

Plate 2: from Forel, A., 1874; Allgemeine Schweizerische Gesellschaft für die Gesamten Naturwissenschaften.

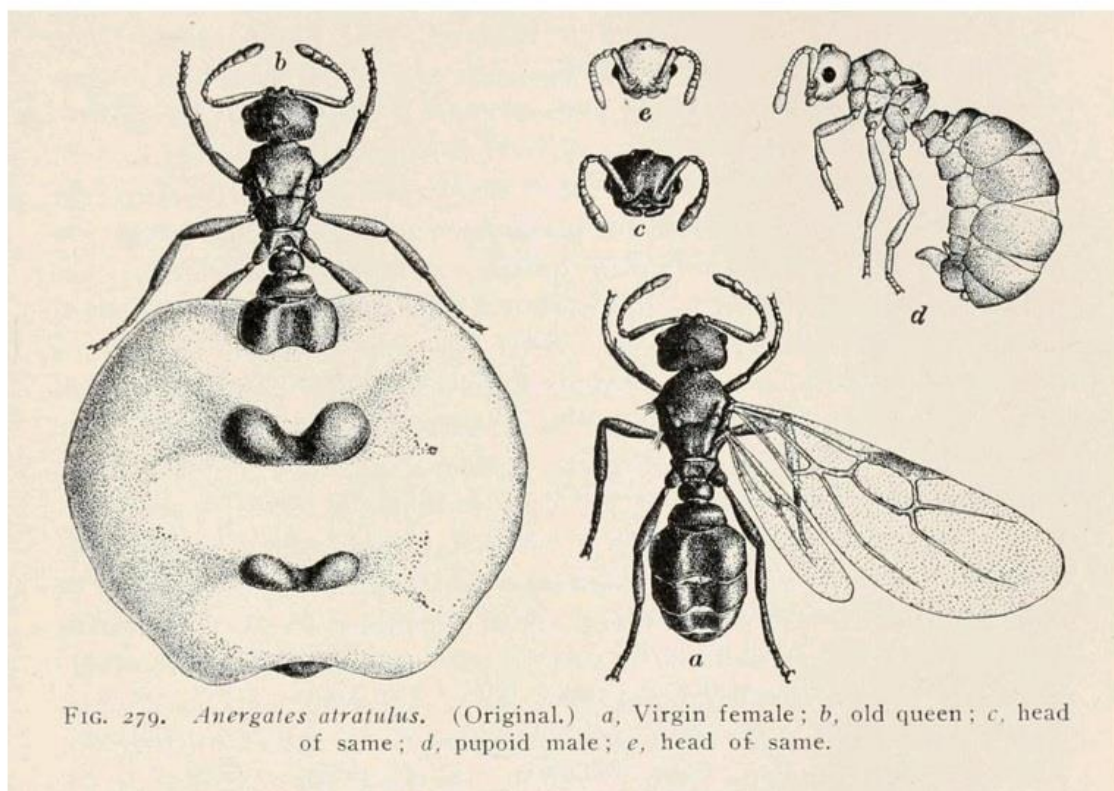


FIG. 279. *Anergates atratulus*. (Original.) a, Virgin female; b, old queen; c, head of same; d, pupoid male; e, head of same.

Fig. 279: from Wheeler, W. M., 1910; Columbia University Press.